

ارزیابی قابلیت اعتماد ترکیب بارهای شامل بار باد در آیین نامه بارگذاری ایران

آرمان کاکائی (دانشجوی دکتری)

محمد رشید سلیمی (استادیار)

روشنک آماده (دانشجوی کارشناسی ارشد)

کامران نوبخت وکیلی (مدرس)

آزاد بیزدانی* (استاد)

گروه عمران، دانشکده مهندسی، دانشگاه کردستان

بار باد از جمله بارهای با عدم قطعیت زیاد و وابسته به موقعیت ساختگاه می‌باشد. بنابراین ضروری است که در تدوین و تنظیم آیین نامه‌ها، شرایط اقایمی و پارامترهای آماری مربوط به مناطق مختلف به صورت جداگانه مورد بررسی قرار گیرند. در این پژوهش بر اساس یک مطالعه پارامتریک به ارزیابی سطح قابلیت اعتماد ترکیب‌های بار باد در مبحث ششم (ویرایش ۱۳۹۲) پرداخته شده است. برای دستیابی به این امر، پارامترهای آماری بار باد برای نواحی مختلف ایران بررسی گردید و سپس شاخص قابلیت اعتماد تیرهای فولادی در مود خمسی برای آن نواحی محاسبه و با مقادیر شاخص قابلیت اعتماد هدف مقایسه شده است. نتایج نشان می‌دهند که شاخص قابلیت اعتماد در مبحث ششم نسبت به شاخص قابلیت اعتماد هدف، پایین‌تر است. یکی از دلایل پایین بودن شاخص قابلیت اطمینان تا حد زیادی ناشی از تخمین دست پایین سرعت مبنای باد نسبت به مقادیر تجربی آن می‌باشد.

armankakaei@gmail.com
mr.salimi@uok.ac.ir
roshanakamadeh@gmail.com
k.vakili@uok.ac.ir
a.yazdani@uok.ac.ir

واژگان کلیدی: تحلیل قابلیت اعتماد، آیین نامه بارگذاری ایران، ترکیبات بار، پارامترهای آماری، بار باد.

۱. مقدمه

آیین نامه‌ها بر پایه قابلیت اعتماد اهمیت فراوانی پیدا کرده است و آیین نامه‌های زیادی همچون آیین نامه ساختمان‌های فولادی آمریکا^[۱]، آیین نامه بارگذاری آمریکا^[۲]، آیین نامه بل ها در بزرگراه‌های آمریکا^[۳] و همچنین آیین نامه کشورهای اروپایی^[۴] و آیین نامه‌های کانادا^[۵-۶] بر مبنای این روش تدوین شده‌اند. نسل جدید آیین نامه‌ها بصورت حالت حدی تدوین شده‌اند و برای هر حالت حدی حاشیه اینمی با اعمال ضرایبی در بار و مقاومت حاصل می‌گردد. در دو دهه اخیر روش طراحی بر اساس ضرایب افزایش بار و کاهش مقاومت برای ساختمان‌های فولادی توسعه چشمگیری داشته است. در تدوین این آیین نامه‌ها بر اساس نظریه قابلیت اعتماد با در نظر گرفتن مشخصات آماری پارامترها و لحاظ نمودن عدم قطعیت‌های مربوط به آن‌ها، ضرایب بار و مقاومت به گونه‌ای محاسبه می‌گردد تا سطح مطلوبی از قابلیت اعتماد یا همان قابلیت اعتماد هدف حاصل گردد.

با وجود اینکه آیین نامه‌ها معمولاً بر پایه نظریه قابلیت اعتماد تدوین شده‌اند، در هر صورت لازم است در دوره‌های مختلف مورد ارزیابی مجدد قرار گیرند. این امر می‌تواند ناشی از شناخت بیشتر از وضعیت بار و مقاومت سازه و درنتیجه بروزرسانی پارامترهای آماری این متغیرها و همچنین فرمول بندی مجدد آیین نامه‌ها در راستای کاهش و یا حذف ناسازگاری‌ها و نلاش برای دستیابی به سطوح اینمی یکنواخت در آیین نامه‌های سازه‌ای باشد.^[۷]

از اهداف اصلی آیین نامه‌های طراحی سازه، دستیابی به یک طرح اینمی و اقتصادی است که بتواند نیازهای سازه را با توجه به موقعیت اجتماعی، اقتصادی و استراتژیک آن تأمین کند. لازمه دستیابی به این اهداف داشتن درک درستی از بارهای وارد بر سازه و همچنین عناصر مقاوم در مقابل این بارها می‌باشد. از آنجا که مقدار بارهای وارد بر سازه و همچنین بارگذارهای مربوط به مقاومت بصورت غیر قطعی و احتمالاتی هستند، بنابراین ضروری است که در تنظیم آیین نامه‌ها ماهیت تصادفی آن‌ها در نظر گرفته شود. روش‌های مبتنی بر نظریه قابلیت اعتماد چهارچوبی را در اختیار قرار می‌دهند که بر اساس آن می‌توان عدم قطعیت‌های مختلف در تحلیل و طراحی سازه‌ها را وارد محاسبات کرد. قابلیت اعتماد یک سازه به صورت توانایی سازه در به انجام رساندن عملکرد مطلوب مورد نظر طراحی برای یک طول عمر مشخص تعریف می‌گردد. بنابراین قابلیت اعتماد معمولاً برابر با احتمال سالم ماندن سازه برای دستیابی به عملکرد هدف می‌باشد.^[۸]

مفاهیم تحلیل قابلیت اعتماد را می‌توان هم برای تنظیم آیین نامه‌های طراحی جدید و هم برای ارزیابی آیین نامه‌های موجود به کار برد. در چند دهه اخیر تدوین

* نویسنده مسئول
تاریخ: دریافت ۱۰/۸/۱۳۹۸، اصلاحیه ۴/۲۲، پذیرش ۱۳۹۹/۷/۲۰.

DOI:10.24200/J30.2020.54912.2685

برف در ایران وجود ندارد، برای این بارها از اطلاعات سایر مراجع و تحقیقات صورت گرفته استفاده شده است. از مهمترین این تحقیقات می‌توان به کارهای نوک و کالیفرنیا^[۱] و الینگوود و همکاران^[۱۵] اشاره کرد که مقادیر پیشنهاد شده برای این بارها در آینه نامه بارگذاری آمریکا بر اساس نتایج بدست آمده در کارهای این محققین می‌باشدند. با توجه به اینکه بار باد از عدم قطعیت نسبتاً زیادی برخوردار است و وابسته به موقعیت ساختگاه می‌باشد و همچنین در ترکیب بارهای بررسی شده در این مطالعه نقش اساسی دارد، برای این بار از داده‌های آماری ایران و همچنین روابط آینه نامه مبحث ششم^[۱۶] استفاده شده است. بر اساس آینه نامه بارگذاری ایران فشار بار باد (p) بر روی جزء یا کل سطح یک ساختمان به صورت زیر محاسبه می‌گردد.

$$p = I_w q C_e C_p C_g \quad (1)$$

در این رابطه q فشار مبنای باد، I_w ضریب اهمیت برای بار باد C_e ضریب بادگیری، C_g ضریب اثر جهشی باد و C_p ضریب فشار خارجی می‌باشدند. فشار مبنای باد بر اساس رابطه زیر بیان می‌شود.

$$q = \frac{1}{\rho} \rho V^4 \quad (2)$$

که ρ چگالی هوا و برابر یک عدد ثابت است و V سرعت باد بر حسب کیلومتر بر ساعت است. با توجه به رابطه‌های ۱ و ۲ ناشی از عدم قطعیت در سرعت باد و همچنین عدم قطعیت در ضرایب فشار مبنای باد می‌باشد. در هر صورت بیشترین عدم قطعیت مربوط به عدم قطعیت در تخمین سرعت باد می‌باشد. آینه نامه مبحث ششم سرعت مبنای باد را برای دوره بازگشت پنجاه ساله بیان کرده است و برای ۵۸ ایستگاه مقادیر سرعت می‌باشد در دوره بازگشت ۵۰ ساله تعیین کرده است. در این مطالعه برای این ۵۸ ایستگاه داده‌های آماری بالای بیست سال آن‌ها جمع آوری شده است و بر اساس آن پارامترهای آماری استخراج شده است. بر اساس بیشینه سرعت ماهیانه باد، حداقل سرعت سالیانه باد برای سال‌های مختلف در هر ایستگاه محاسبه شده و بر اساس آن پارامترهای پارامترهای آماری سرعت باد برای دوره بازگشت ۵۰ سال به صورت زیر محاسبه می‌گردد.

$$F_{V_50} = [F_V(V)]^{50} \quad (3)$$

که V و F_V به ترتیب سرعت باد حداقل سالیانه و سرعت باد حداقل در ۵۰ سال و تابع توزیع تجمعی متغیر تصادفی (V) می‌باشدند. با در نظر گرفتن توزیع حدی نوع اول (گامبل) برای سرعت باد و توسعه رابطه^۳، پارامترهای آماری برای سرعت ۵۰ ساله باد طبق روابط زیر محاسبه می‌شوند.^[۱۶]

$$\bar{V}_{50} = \bar{V} \left(1 + \frac{\sqrt{6}}{\pi} C_o V_V \cdot \ln 50 \right) \quad (4)$$

$$\bar{V}_{50} \cdot C_o V_V = \bar{V} \cdot C_o V_V \quad (5)$$

که $C_o V_V$ و \bar{V} به ترتیب برابر با ضریب تغییرات و میانگین می‌باشند. همچنین در محاسبه مقدار ضریب تغییرات عدم قطعیت‌های مربوط به مشاهده و نمونه‌گیری لحاظ گردیده است. جدول ۱ مقادیر محاسبه شده برای پارامترهای آماری سرعت باد در دوره بازگشت ۵۰ ساله بر اساس داده‌های آماری گردآوری شده از سایت سازمان هوائشناسی کشور^[۱۷] را نشان می‌دهد. این پارامترهای آماری شامل میانگین و ضریب تغییرات هستند که برای همه ایستگاه‌های موجود در آینه نامه محاسبه در این پژوهش با توجه به اینکه داده کافی و قابل اعتماد برای بارهای مرده، زنده و

آینه نامه‌های تحلیل و طراحی سازه‌ها در ایران از آینه نامه‌های سایر کشورها الهام گرفته‌اند. به عنوان نمونه ویرایش ۱۳۹۲ آینه نامه فولاد ایران^[۱۸] انتطباق بیشتری نسبت به آینه نامه فولاد آمریکا^[۱۹] دارد و همچنین آینه نامه بارگذاری ایران^[۲۰] تا حدود زیادی مشابه آینه نامه بارگذاری آمریکا^[۲۱] می‌باشد. این امر در صورتی است که شرایط اقلیمی و جغرافیایی و همچنین شرایط صنعت ساخت و ساز در ایران مقاومت با سایر کشورها است. بنابراین ضروری است به سمت وضعیت پیشرفت که بتوان اطلاعات و داده‌های مربوط به شرایط بارگذاری و همچنین شرایط مربوط به تولید مصالح و مقاومت سازه را در ایران تنظیم مقررات ملی ساختمان دخیل کرد. متناسبه با دلیل در دسترس نبودن اطلاعات آماری کافی و همچنین نوی بودن علم قابلیت اعتماد سازه‌ها در ایران پژوهش‌های محدودی در این زمینه صورت گرفته است. از جمله این پژوهش‌ها می‌توان به مطالعات صورت گرفته بر روی توزیع تنش فولاد مصرفی در ایران^[۲۲]، بررسی و ارزیابی ترکیب‌های بازیابی مبحث ششم^[۱۴] و همچنین ارزیابی قابلیت اعتماد اعضای فولادی در مودهای مختلف شکست خشی و کششی، کششی و فشاری^[۱۵] اشاره کرد. لازم به ذکر است که بیشتر این مطالعات بر مبنای مدل سازی و طراحی الگوهای معمول ساختمان‌های فولادی کشور و سپس ارزیابی قابلیت اعتماد برای ترکیب بارهای کنترل کننده در مودهای مختلف شکست صورت گرفته است. به همین دلیل برای ترکیب بارهای کمتر غالب شده‌اند، ارزیابی صورت نگرفته است. تا کنون مطالعه‌ی گستردگی بر روی ترکیب‌های بار شامل بار باد صورت نگرفته است، این در حالی است که بار باد از مهمترین بارهای در طراحی سازه می‌توانند ترکیب بار کنترل کننده باشند، بار باد از جمله بارهای با عدم قطعیت زیاد نیز هستند. این عدم قطعیت‌ها تأثیر زیادی بر روی شاخص اینمی سازه‌ها دارند. داده‌های آماری مربوط به بار باد به طور کامل وابسته به موقعیت ساختگاه هستند و نمی‌توان برای یک منطقه گستردگی که دارای تغییرات زیادی در سرعت باد می‌باشد فقط از یک سری پارامتر آماری ثابت استفاده کرد. ضرایب بار باد در مبحث ششم مقررات ملی ساختمان^[۱۶] با الهام از آینه نامه مقررات ملی ساختمان کانادا^[۲۳] در نظر گرفته شده است. این در حالی است که کشور ایران به لحاظ اقلیمی و شرایط آب و هوایی دارای نوع گستردگی می‌باشد. با توجه به اینکه شرایط جوی ایران و عدم قطعیت‌های مربوط به بار باد در ایران در تعیین این ضرایب نقشی نداشته‌اند، لذا استفاده از آن‌ها می‌تواند منجر به طراحی‌های محافظه‌کارانه و غیر اقتصادی و یا از طرف دیگر طراحی‌های غیر این گردد. در این مطالعه قابلیت اعتماد ضرایب بار باد استفاده شده در مبحث ششم به صورت پارامتریک مورد ارزیابی قرار می‌گیرد. برای این منظور داده‌های آماری بار باد در کل مناطق کشور جمع آوری و توزیع های آماری مناسب و پارامترهای مربوطه به آن‌ها استخراج شده‌است. با استفاده از چهارچوب‌های مفهومی و روابط پایه در تحلیل قابلیت اعتماد سازه‌ها، شاخص قابلیت اعتماد برای مود خمسی در تیرها محاسبه گردیده و با شاخص قابلیت اعتماد هدف مقایسه شده است. در ادامه اثر مقدار سرعت می‌باشد بر روی قابلیت اعتماد بررسی خواهد شد. همچنین با توجه به تغییرات صورت گرفته در پیش‌نویس ویرایش چهارم (۱۳۹۶) مبحث ششم مقررات ملی ساختمان، به ارزیابی سطح قابلیت اعتماد ویرایش جدید این آینه نامه نیز پرداخته می‌شود.

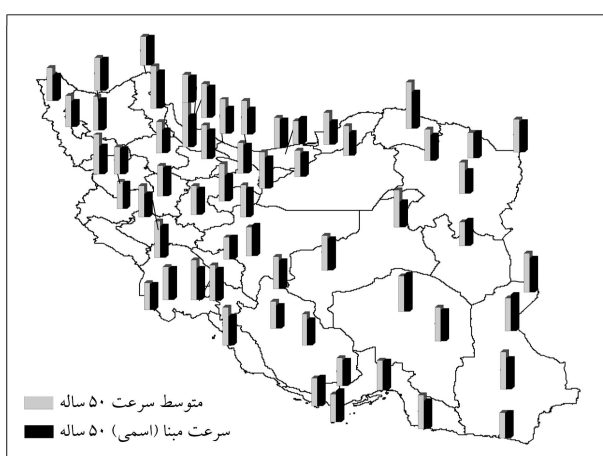
۲. مدل سازی احتمالاتی متغیرهای تصادفی بار و مقاومت

۲.۱. مدل سازی احتمالاتی بارها

در این پژوهش با توجه به اینکه داده کافی و قابل اعتماد برای بارهای مرده، زنده و

جدول ۱. داده‌های آماری سرعت باد در دوره بازگشت ۵۰ ساله.

$C_o V_50$	V_n	متوجه سرعت ۵۰ ساله		ایستگاه	$C_o V_50$	V_n	متوجه سرعت ۵۰ ساله		ایستگاه
		(Km/h)	(m/s)				(Km/h)	(m/s)	
۰/۱۱۰۲۱۳	۱۱۰	۱۳۰/۳۶۷۹	۲۸/۷۱۲۳۲	اصفهان	۰/۱۶۹۶۷۴	۸۰	۱۱۰/۲۶۴۳	۳۰/۶۲۸۹۷	تررتیت‌حیدریه
۰/۱۶۴۸۷	۱۱۰	۱۲۹/۴۷۹	۳۸/۷۴۴۱۶	امدیه	۰/۱۷۰۸۳۱	۸۰	۱۰۹/۲۹۶۷	۳۰/۳۶۰۱۹	خرمآباد
۰/۱۶۱۳۲۷	۱۱۰	۱۱۵/۹۳۱۴	۳۲/۲۰۳۱۸	اهواز	۰/۱۶۸۶۲۶	۸۰	۱۰۹/۰۶۲۹	۳۰/۲۹۵۲۴	زنگان
۰/۱۷۷۴۸۹	۱۱۰	۱۳۲/۲۲۰۹	۳۶/۷۳۰۸	ایرانشهر	۰/۱۴۹۸۵۱	۸۰	۹۲/۱۶۱۲۲	۲۵/۶۰۰۳۷	سمنان
۰/۱۷۶۸۰۵	۱۰۰	۱۰۸/۵۶۲۲	۳۰/۱۵۶۱۷	بابلسر	۰/۱۷۰۸۳۱	۸۰	۱۰۴/۳۴۴۱	۲۸/۹۸۴۴۷	شاہرود
۰/۱۸۰۹۱۹	۱۱۰	۱۱۹/۳۶۹۹	۳۲/۱۵۸۳۱	بم	۰/۱۵۴۹۲۲	۸۰	۷۷/۹۴۲۰۷	۲۱/۸۵۰۵۸	شهرکرد
۰/۱۴۲۵۳۸	۱۱۰	۱۲۱/۰۷۱۹	۳۲/۶۲۱۰۸	بندرلنگلی	۰/۱۴۲۵۳۸	۸۰	۹۵/۳۲۱۹۵	۲۶/۴۷۸۳۲	شیزار
۰/۱۵۰۳۸۷	۱۰۰	۱۰۳/۲۲	۲۸/۷	بندرعباس	۰/۱۹۷۶۵۳	۸۰	۱۱۳/۴۲۸۷	۳۱/۵۰۷۹۸	گرگان
۰/۱۷۵۸۲۵	۱۰۰	۱۳۳/۲۹۵۳	۳۷/۰۲۶۴۸	بوشهر	۰/۱۱۵۲۱۳	۹۰	۹۴/۲۹۰۴۵	۲۶/۱۹۱۷۹	آبادان
۰/۱۵۰۰۹۳	۱۰۰	۱۰۳/۱۷۶۹	۲۸/۶۶۰۲۴	پارس‌آباد	۰/۱۴۷۳۲۸	۹۰	۱۰۱/۰۰۴۵	۲۸/۰۵۶۸	اراک
۰/۱۲۵۰۳۶	۱۱۰	۱۱۴/۶۹۱۷	۳۱/۸۵۸۸۱	تبریز	۰/۱۵۴۰۷۲	۹۰	۱۰۸/۳۰۸۳	۳۰/۰۸۵۶۴	ارومیه
۰/۱۲۹۶۶۵	۱۰۰	۱۰۸/۹۰۹۵	۳۰/۲۵۲۶۴	تهران	۰/۱۳۷۴۳۱	۹۰	۹۸/۲۵۹۸	۲۷/۲۹۴۳۹	بندرلنگه
۰/۱۸۴۲۱۵	۱۰۰	۱۱۹/۲۰۸۳	۳۳/۱۱۳۴۲	جاسک	۰/۱۲۰۸۷۸	۹۰	۸۳/۱۳۹۲۵	۲۳/۰۹۴۲۴	بیرونی
۰/۱۲۹۸۹۲	۱۱۰	۹۹/۵۳۱۴	۲۷/۶۴۷۶۱	جزیره سیبری	۰/۱۵۳۷۸۳	۹۰	۹۰/۳۵۱۹۹	۲۵/۰۹۷۷۸	چابهار
۰/۱۱۰۴۷۳	۱۰۰	۹۸/۹۴۴۳۳	۲۷/۴۸۴۰۴	جزیره کیش	۰/۱۷۲۸۴۵	۹۰	۱۱۸/۵۲۳۵	۳۲/۹۲۳۱۹	خوی
۰/۱۶۸۲۱۲	۱۱۰	۱۲۹/۷۸۵۸	۳۶/۰۵۱۶۲	درزول	۰/۱۶۵۳۷	۹۰	۱۲۲/۱۷۰۷	۳۳/۹۳۶۳	رامسر
۰/۱۴۹۶۱۴	۱۱۰	۱۱۷/۷۷۷۵	۳۲/۷۱۵۹۸	سرخس	۰/۱۵۵۱۵۱	۹۰	۹۹/۹۵۲۹۱	۲۷/۷۶۴۷	رشت
۰/۱۸۷۹۲۳	۱۰۰	۱۴۰/۷۲۸۶	۳۹/۰۹۱۲۸	سقز	۰/۱۵۸۲۹۷	۹۰	۱۱۱/۱۰۴	۳۰/۸۶۲۲۱	سیزوار
۰/۱۵۲۱۲۹	۱۰۰	۱۱۸/۱۰۰۸	۳۲/۸۰۵۷۷	قرمیان	۰/۱۴۰۰۲۶	۹۰	۹۶/۷۳۷۵۵	۲۶/۸۷۱۵۴	سنندج
۰/۱۸۱۲۱۴	۱۰۰	۱۱۵/۴۲۶۲	۳۲/۰۶۲۸۲	کاشان	۰/۱۹۷۰۹۸	۹۰	۱۲۹/۰۵۲۳	۳۵/۹۷۲۸۵	طبس
۰/۱۴۴۳۵۷	۱۱۰	۱۲۰/۰۳۸۵	۳۳/۲۴۴۰۱	مراغه	۰/۱۸۴۱۳۶	۹۰	۱۰۹/۲۶۸۳	۳۰/۳۵۲۳	فسا
۰/۱۴۵۳۸۲	۱۰۰	۱۱۰/۳۵۸۵	۳۰/۶۵۰۱۳	همدان	۰/۱۰۰۳۲۵	۹۰	۸۰/۴۸۳۸۴	۲۲/۳۵۶۲۲	قائم‌شهر
۰/۱۵۴۲۷۵	۱۱۰	۱۲۳/۰۵۲۲۶	۳۴/۳۱۱۸۳	بزد	۰/۱۷۰۴۶۴	۹۰	۱۳۱/۰۹۸۸	۳۶/۴۱۶۳۳	قم
۰/۱۵۳۹۲۲	۱۳۰	۱۵۲/۰۷۸۲	۴۲/۲۴۳۹۵	اردبیل	۰/۱۱۵۲۱۳	۹۰	۹۵/۱۸۲۴۶	۲۶/۴۳۹۷۵	کرمانشاه
۰/۱۸۶۳۶	۱۳۰	۱۶۵/۸۰۵۱	۴۶/۰۷۰۸۵	بجنورد	۰/۱۳۴۱۱۹	۹۰	۸۸/۶۴۹۹	۲۴/۸۲۴۹۷	مشهد
۰/۱۶۰۳۲۲	۱۲۰	۱۳۷/۷۵۳۷	۳۸/۲۶۴۹۲	زلزل	۰/۱۰۸۴۵	۹۰	۱۱۸/۲۸۴۵	۳۲/۸۵۶۸۲	نوشهر
۰/۱۲۰۲۲۲	۱۳۰	۱۱۶/۷۸۰۶	۳۲/۴۳۹۰۷	راهدان	۰/۱۴۱۲۹۹	۱۰۰	۱۱۳/۵۵۶	۳۱/۵۴۳۳۴	آباده
۰/۱۲۵۰۳۶	۱۳۰	۱۲۵/۸۴۳۸	۳۴/۹۵۶۶۲	کرمان	۰/۱۴۸۹۸۷	۱۱۰	۱۲۹/۸۳۳۵	۳۶/۰۶۴۸۶	آبعلی
۰/۱۷۰۹۵۳	۱۳۰	۱۶۶/۳۷۰۲	۴۶/۲۱۳۹۴	منجیل	۰/۱۴۹۶۱۴	۱۱۰	۱۲۶/۴۷۱۷	۳۵/۱۳۱۰۴	آغاجاری



شکل ۱. میزان سرعت مبنای و میانگین سرعت آماری در دوره بازگشت ۵۰ ساله برای شهرهای مختلف.

شد هاند. همچنین در جدول مقادیر اسمی سرعت باد در ۵۰ سال که همان مقادیر سرعت مبنای در آیین نامه می باشد، با عبارت V_n نشان داده شده است. همچنین در شکل ۱ مقادیر بار مبنای باد (مقدار اسمی) و میانگین سرعت باد آماری ثبت شده در ایستگاه های مختلف کشور نشان داده شده است. نمودارهای میله ای خاکستری رنگ مقادیر متوسط آماری بار باد در دوره بازگشت ۵۰ ساله و نمودارهای میله ای سیاه رنگ مقادیر سرعت مبنای آیین نامه که آن هم برای دوره بازگشت ۵۰ ساله تعریف شده است، را نمایش می دهند. همانگونه که از شکل نیز پیداست در اغلب ایستگاه ها میزان سرعت آماری بیشتر از میزان سرعت پیشنهادی آیین نامه یا همان مقدار اسمی سرعت می باشد. در این مطالعه کشور ایران بر اساس سرعت مبنای طرح داده شده در آیین نامه به بنچ ناحیه تقسیم شده است. همه ایستگاه هایی که دارای سرعت مبنای یکسان می باشند به صورت یک ناحیه در نظر گرفته شده اند. با توجه به اینکه در مبحث ششم فقط یک ایستگاه دارای سرعت مبنای ۱۲۰ کیلومتر بر ساعت است، لذا آن را به طور جداگانه لحاظ نکرده و با ایستگاه های با سرعت ۱۳۰ کیلومتر بر ساعت در یک ناحیه طبقه بندی

جدول ۲. پارامترهای آماری مربوط به سرعت در ۵۰ سال.

ناحیه	سرعت اسمنی	متوسط سرعت	تغییرات	ضریب اریبی
۱	۸۰	۱۰۱/۵	۰/۱۷	۱/۲۷
۲	۹۰	۱۰۴/۲	۰/۱۵	۱/۱۶
۳	۱۰۰	۱۱۴/۵	۰/۱۶	۱/۱۶
۴	۱۱۰	۱۲۰/۹	۰/۱۵	۱/۱
۵	> ۱۲۰	۱۴۴/۱	۰/۱۵	۱/۱۱

جدول ۳. پارامترهای آماری مربوط به بارهای مختلف در دوره بازگشت ۵۰ سال.

ضریب تغییرات	ناحیه ۱	ناحیه ۲	ناحیه ۳	ناحیه ۴	ناحیه ۵	بار باد	بار
ضریب اریبی	۱/۱۳	۰/۹۴	۰/۹۳	۰/۸۵	۰/۸۶	۰/۸۲	۱/۰

جدول ۴. پارامترهای آماری مقاومت.^[۱۹]

ضریب	پارامترهای مقاومت	تغییرات اریبی
M	$1/10 \cdot 1/1$	
F	$1/0 \cdot 0/05$	
P	$1/02 \cdot 0/06$	
D	$1/05 \cdot 0/04$	
R	$1/12 \cdot 0/12$	

۲.۲. مدل سازی مقاومت

مقاومت یک عضو وابسته به مقاومت مصالح تشکیل دهنده، هندسه و بعد مقاطع می‌باشد. از آنجا که همه این پارامترها دارای عدم قطعیت هستند، لازم است که این پارامترها را به صورت متغیر تصادفی مدل شوند. در تیر تحت خمس مقاومت به صورت یک متغیر تصادفی (R_m) طبق رابطه زیر مدل می‌گردد.

$$R_m = R_n MFP \quad (8)$$

که در آن M نشان دهنده عدم قطعیت در مصالح، F نشان دهنده عدم قطعیت در ساخت و P نشان دهنده عدم قطعیت در مدل سازی و روش تحلیل می‌باشد. همچنین R_n مقاومت اسمنی است. با توجه به اینکه در طراحی سازه‌های مقاطع مشخصی به صورت نورد شده وجود دارد و نمی‌توان برای هر مشخصات هندسی، مقطع دقیقاً متناظر با آن را استفاده نمود، انتخاب مقطع نیز دارای عدم قطعیت است.

به این منظور، یک پارامتر اضافی دیگر به نام پارامتر گستته سازی^۱ برای لحاظ کردن این عامل در نظر گرفته شده است.^[۲۰] پارامترهای آماری این متغیرها در جدول ۴ نشان داده شده است. با توجه به رابطه ۸ پارامترهای آماری مقاومت بر اساس روابط زیر محاسبه می‌گردد.

$$B_R = B_m B_f B_p B_d \quad (9)$$

شده‌اند. پارامترهای آماری مربوط به سرعت در پنجاه سال برای نواحی مختلف مطابق جدول ۲ می‌باشند. با وجود آن که بیشترین عدم قطعیت مربوط به بار باد و استهله است، ولی سایر ضرایب نیز همچون ضرایب بادگیری (C_e)، ضریب اثر جهشی باد (C_g) و ضریب فشار خارجی (C_p) دارای عدم قطعیت هستند و لازم است آن‌ها را به صورت متغیر تصادفی مدل کرد. فشار سرعت مبنا باید با استفاده از این ضرایب انتقال یابد تا فشار اعمالی به سطح سازه به دست آید.

ضریب انتقال توسط پژوهشگران زیادی محاسبه شده است که از جمله آن‌ها می‌توان به تحقیقات الینگوود و تکی^[۱۸] اشاره نمود که مقادیر $0/7$ و $0/21$ را به ترتیب برای ضریب اریبی و ضریب تغییرات پیشنهاد کرده‌اند. همچنین بارلت و همکاران^[۱۹] نیز که بر روی آین نامه با رگذاری کانادا مطالعات گسترشده‌ای انجام داده‌اند، این مقادیر را برابر $0/68$ و $0/22$ در نظر گرفته‌اند. در این مطالعه مقادیر $0/7$ و $0/21$ برای ضریب اریبی و ضریب تغییرات متغیر تصادفی ضریب انتقال در نظر گرفته شده است که اختلاف اندکی با مقادیر ارائه شده توسط بارلت و همکاران^[۱۹] دارد. در نهایت با داشتن مقادیر پارامترهای آماری مربوط به سرعت و ضریب انتقال می‌توان پارامترهای آماری بار باد را با استفاده از روابط زیر بدست آورد.

$$B_W = B_T \times B_V \quad (6)$$

$$CoV_W = \sqrt{CoV_T^2 + 4CoV_V^2} \quad (7)$$

در روابط ذکر شده B_T ، B_V و B_W به ترتیب برابر با ضرایب اریبی نظیر انتقال، سرعت در ۵۰ سال و بار باد می‌باشند. لازم به ذکر است ضریب اریبی به صورت نسبت مقادیر میانگین پارامتر آماری به مقادیر اسمنی آن تعریف می‌گردد. همچنین CoV_W و CoV_V به ترتیب برابر با ضریب انحراف معیار انتقال، سرعت در ۵۰ سال و بار باد هستند. پارامترهای آماری بارهای مختلف در جدول ۳ نشان داده شده است. این مقادیر برای بارهای مرده، زنده و برف در همه نقاط ایران به صورت یکسان فرض شده‌اند و بار باد به پنج ناحیه اشاره شده تقسیم‌بندی شده است. همانطور که مشاهده می‌گردد پارامترهای آماری ناحیه‌های دو با سه و همچنین چهار با پنج تقاضیاً برابرند و در تحلیل قابلیت اعتقاد به یک نتیجه منجر خواهند شد.

از مقادیر اسمی بارها بصورت رابطه زیر در نظر گرفت.

$$Q_m = c \sum B_i Q_i \quad (14)$$

که B_i مقدار ضریب اربیی بار i و c ثابتی است که بارها را به اثرات آن تبدیل می‌کند. در واقع اعمال این پارامتر به این دلیل است که در طراحی مقدار خود بارها به عنوان نیروی طراحی وارد نمی‌شوند بلکه اثرا آن‌ها همانند لنگر خشمی، نیروی برشی لحاظ می‌شود. همچنین بر اساس فلسفه طراحی در حالت حدی نهایی مقاومت کاهش یافته را برابر با بارهای ضریب‌دار در نظر می‌گیرند.

$$\varphi R_n = c \sum \gamma_i Q_i \quad (15)$$

که در رابطه ۱۵، φ و γ_i به ترتیب ضریب کاهش مقاومت و ضرایب افزایش بار هستند. طبق تعریف، ضریبی به نام ضریب کالیبراسیون را می‌توان به صورت زیر تعریف کرد.

$$C_\varphi = \frac{\sum \gamma_i Q_i}{\sum B_i Q_i} \quad (16)$$

با ترکیب کردن روابط ۱۴ تا ۱۶ نسبت R_m/Q_m برای تیرها به صورت زیر محاسبه می‌شود.

$$\frac{R_m}{Q_m} = \frac{R_m}{\varphi R_n} C_\phi \quad (17)$$

با قرار دادن رابطه ۱۷ در رابطه ۱۳ شاخص قابلیت اعتماد برای تیرها تحت اثر خمشن طبق رابطه زیر محاسبه می‌شود.

$$\beta = \frac{1}{\sqrt{CoV_R^r + CoV_Q^r}} \ln \left[\left(\frac{R_m}{R_n} \right) \frac{C_\phi}{\phi} \right] \quad (18)$$

که در آن R_m/R_n ضریب اربیی مقاومت می‌باشد. CoV_Q به صورت زیر تعریف می‌شود.

$$CoV_Q = \frac{\sqrt{\sum (B_i Q_i C_o V_{Qi})^2}}{[\sum B_i Q_i]} \quad (19)$$

۲.۳. شاخص قابلیت اعتماد هدف

آین نامه‌ها به گونه‌ای تهییه می‌شوند که بتوانند حداقل نیازهای سازه را با توجه به موقعیت اجتماعی، اقتصادی و سایر پارامترهای تعیین‌کننده دیگر تأمین شود. در آین نامه‌های مبتنی بر طراحی بر اساس قابلیت اطمینان برای دستیابی به سطح ایمنی مورد نیاز از شخصی به نام شاخص قابلیت اطمینان هدف (β_{Target}) استفاده می‌کنند. این شاخص را می‌توان برای سیستم‌های سازه‌یی، اجزای سازه‌یی، مدهای مختلف شکست و حالات مختلف حدی و برای یک طول عمر معین تعیین نمود. شاخص قابلیت اعتماد هدف معمولاً بر اساس پیامدهای ناشی از تخریب همچون هزینه‌های ناشی از خرابی، ترمیم و مقاومت‌سازی و همچنین نوع شکست و درجه اهمیت سازه مشخص می‌شود. آین نامه‌ها و دستورالعمل‌های مختلفی به بررسی و تعیین این شاخص پرداخته‌اند. به عنوان نمونه، آین نامه اروپا^[۱] شاخص قابلیت اطمینان را در سه کلاس قابلیت اطمینان و با در نظر گرفتن سه سطح برای پیامدهای ناشی از تخریب محاسبه کرده است. این نتایج برای دوره‌های زمانی یک ساله و ۵۰ ساله ارائه شده است. لازم به ذکر است این کلاس‌بندی‌ها با قابلیت اطمینان و

$$CoV_R = (CoV_m^r + CoV_f^r + CoV_p^r + CoV_d^r)^{\frac{1}{2}} \quad (10)$$

که B و CoV نشان دهنده ضریب اربیی و ضریب انحراف معیار متغیرها می‌باشند.

۳. تحلیل قابلیت اعتماد

۱.۳. فرمول‌بندی روش تحلیل قابلیت اعتماد برای تیرهای خمشی
قابلیت اعتماد عبارت از احتمال عملکرد مطلوب و عدم خرابی تحت شرایط مشخص شده در مدت زمان معین است. بنابراین شناخت مدهای خرابی و تعیین صریح مرز خرابی برای تمايز رفتار قابل قبول و غیر قابل قبول از اولین اقداماتی است که در روش احتمالی قابلیت اعتماد باید مورد توجه قرار گیرد.^[۱,۹] این مرز به لحاظ ریاضی اغلب توسط یک «تابع حالت حدی» یا «تابع عملکرد» نشان داده می‌شود. هر حالت حدی در حقیقت مرزی بین عملکرد مطلوب و نامطلوب یک سازه است. با فرض آنکه R بیانگر مقاومت و Q نشان دهنده اثرات بار باشد، تابع عملکرد یا تابع حالت حدی به صورت زیر قابل تعریف می‌باشد.

$$L(R, Q) = R - Q \quad (11)$$

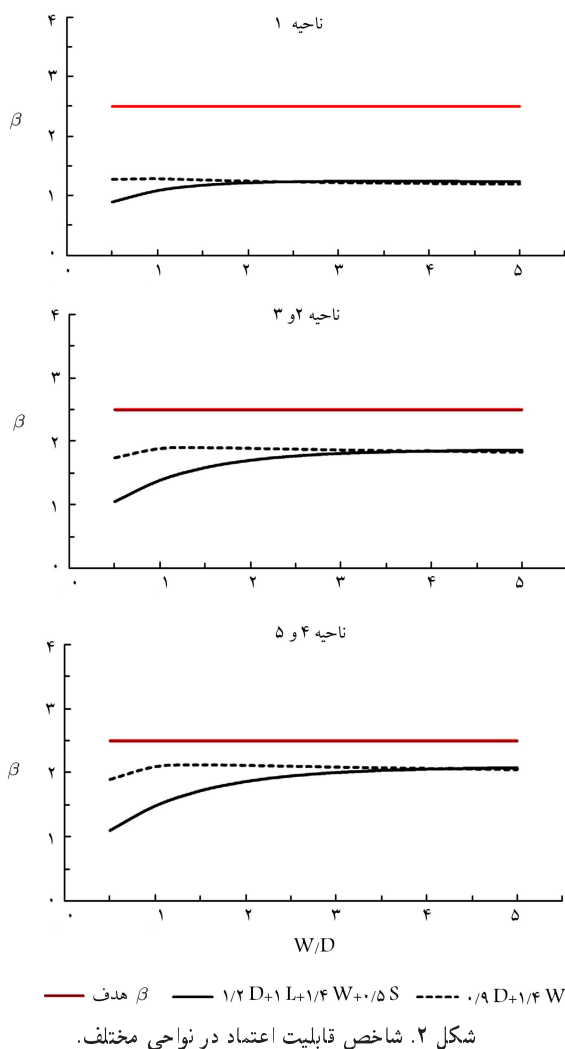
در رابطه بالا L تابع حالت حدی می‌باشد به طوری که اگر $L \geq 0$ باشد، سازه اینم می‌باشد (عملکرد مطلوب) و چنانچه $L < 0$ باشد، سازه اینم نخواهد بود (عملکرد نامطلوب) احتمال خرابی، P_f ، برابر احتمال وقوع عملکرد نامطلوب تعریف می‌شود و به صورت ریاضی این احتمال بر حسب تابع حالت حدی بیان می‌گردد. اگر R و Q هر دو متغیرهای تصادفی پیوسته باشند و تابع چگالی احتمالی آن‌ها به ترتیب برابر $f(r)$ و $f(Q)(q)$ باشند آنگاه احتمال خرابی با استفاده از رابطه زیر محاسبه می‌گردد.^[۱]

$$P_f = P(R - Q < 0) = \iint_{L(R, Q) < 0} f_{R, Q}(r, q) dr dq \quad (12)$$

که در رابطه فوق $f_{R, Q}(r, q)$ برابر با تابع چگالی احتمال مشترک میان متغیرهای R و Q می‌باشد. در صورتی که متغیرهای تصادفی R و Q مستقل از هم باشند، تابع چگالی احتمال برابر $f_R(r)f_Q(q) = f_{R, Q}(r, q)$ خواهد شد. در آین نامه‌های سازه‌ای برای دستیابی به سطح ایمنی مورد نیاز ایمنی از شاخصی به نام شاخص قابلیت اعتماد^۲ استفاده می‌شود. از این شاخص می‌توان برای ارزیابی و مقایسه روش‌های مختلف طراحی، انواع شکست‌ها و غیره استفاده نمود. بر مبنای توضیحات آین نامه فولاد آمریکا^[۲] شاخص قابلیت اعتماد β با استفاده از رابطه زیر محاسبه می‌شود.

$$\beta = \frac{1}{\sqrt{CoV_R^r + CoV_Q^r}} \ln \left[\frac{R_m}{Q_m} \right] \quad (13)$$

که در آن R_m میانگین مقاومت، Q_m میانگین اثرات بار و همچنین CoV_R و CoV_Q به ترتیب برابر با ضریب انحراف معیار بار و مقاومت می‌باشند. رابطه ۱۳ برای محاسبه شاخص قابلیت اعتماد یک رابطه تقریبی است و فقط میانگین و انحراف معیار توزیع‌ها را وارد محاسبات می‌کند ولی در هر صورت در مسائل بررسی آین نامه‌ها این اطلاعات کافی می‌باشند.^[۱,۲] میانگین اثرات بار را می‌توان با استفاده



شکل ۲. شاخص قابلیت اعتماد در نواحی مختلف.

شکل ۲ نتایج تحلیل قابلیت اعتماد را برای نواحی در نظر گرفته شده را نشان می‌دهد. در این شکل‌ها خط ثابت مقدار شاخص قابلیت اعتماد هدف را نشان می‌دهد که برابر با $2/5$ می‌باشد. همچنین تغییرات شاخص قابلیت اعتماد نسبت تغییرات مقدار بار باد به بار مرده برای ترکیب بارهای باد نشان داده شده است. با توجه به شکل‌های نشان داده شده می‌توان دریافت که برای همه نواحی بررسی شده شاخص قابلیت اعتماد نسبت به شاخص قابلیت اعتماد هدف پایین‌تر است. اگر شاخص قابلیت اعتماد برای نسبت بار D/W برابر با ۳ که در ارزیابی و تنظیم آئین نامه‌ها بر اساس روش قابلیت اعتماد مقدار رایجی است^[۱۶] در نظر گرفته شود، شاخص قابلیت اعتماد در هر دو ترکیب بار ذکر شده برای ناحیه ۱ برابر با $1/3$ ، در نواحی ۲ و ۳ برابر با $1/9$ و در نواحی ۴ و ۵ برابر با مقدار 2 می‌باشد.

پایین بودن شاخص قابلیت اعتماد در مبحث ششم برای ترکیب‌های بار باد به نظر می‌رسد ناشی از تخمین دست پایین مقدار سرعت مبنای باد در این آئین نامه است. همانگونه که از جدول ۱ و شکل ۱ پیداست مقادیر آماری (داده‌های تجربی) سرعت باد در 5° سال نسبت به مقدار سرعت مبنای در نظر گرفته شده در آئین نامه در اغلب ایستگاه‌ها بیشتر است که این امر سبب افزایش ضریب اریبی سرعت باد و در نتیجه افزایش ضریب اریبی بار باد و کاهش شاخص قابلیت اعتماد می‌گردد. نکته قابل توجه آن است که شاخص قابلیت اعتماد در نواحی

با در نظر گرفتن ملاحظات اقتصادی و هزینه‌های نسبی اینی صورت گرفته است. همچنین دستورالعمل ایزو^[۲۰] با همین فلسفه، ولی با در نظر گرفتن چهار سطح برای پیامدهای تخریب مقادیری را برای شاخص قابلیت اعتماد هدف تعیین نموده است. الینگوود و همکاران^[۱۶] برای اعضای فولادی و ترکیبات مختلف بارگذاری مقادیر قابل اطمینان هدف را پیشنهاد داده‌اند. آن‌ها شاخص قابلیت اعتماد هدف را برای ترکیب‌های بار ثقلی (مرده، زنده و برف) برابر 3 ، ترکیب‌های بار ثقلی و بار باد برابر $2/5$ و ترکیب‌های بار ثقلی و بار زلزله برابر با $1/75$ در نظر گرفتند. این مقادیر در مطالعات مختلف نیز مورد استفاده قرار گرفته است.^[۲۱] همچنین در آئین نامه ۱۹۹۴ AISC LRFD^[۲۲] نیز از همین مقادیر استفاده شده است. در هر دو ویرایش جدیدتر آئین نامه بارگذاری آمریکا یعنی ASCE/SEI-۱۰^[۲] و ASCE/SEI-۱۶^[۱۶] مقادیر شاخص قابلیت اعتماد متفاوت ارائه داده‌اند. مقادیر ذکر شده در این آئین نامه‌ها بر اساس شکست عضو (برای همه بارها به غیر از بار زلزله) و شکست سیستم سازه‌ی (برای بار زلزله) می‌باشند. آئین نامه فولاد آمریکا^[۲۳] نیز برای اعضای سازه‌ای تحت شکست در حالت حدی نهایی مقدار $2/6$ را برای شاخص قابلیت اعتماد هدف پیشنهاد می‌دهد. در این مطالعه برای ترکیب‌های بار باد بر اساس تحقیقات الینگوود و همکاران^[۱۶] مقدار $2/5$ برای این شاخص در نظر گرفته می‌شود. این مقدار با مقدار در نظر گرفته شده در آئین نامه فولاد آمریکا نیز همخوانی دارد.

۳.۳. ترکیبات بار باد در آئین نامه بارگذاری ایران

بر اساس آئین نامه بارگذاری ایران^[۱۱] ترکیبات بار باد بصورت زیر می‌باشند.

$$1) 1/2D + 1/6L + 0/7W$$

$$2) 1/2D + 1/0L + 1/4W + 0/5S$$

$$3) 0/9D + 1/4W$$

این سه ترکیب بار شامل، بار مرده (D)، بار زنده (L)، بار برف (S) و بار باد (W) می‌باشند که پارامترهای آماری این بارها در جدول ۳ ارائه شده است. در ترکیب بار شماره ۱ بار باد به صورت بار همراه^۳ به بار برف اضافه شده است، در واقع ترکیب بار شماره ۱ ترکیب بار برف است، چون بار برف بیشترین ضریب را دارد و بار اصلی^۴ است. در ترکیب بار شماره ۲ بار باد بار اصلی می‌باشد و سایر بارها همچون بار زنده و بار برف بار همراه می‌باشند. در ترکیب بار شماره ۳ نیز بار باد بار اصلی است. این ترکیب بار جزو مواردی است که بارها به صورت معکوس بر هم اثر کاهش دهنده داشته باشند یعنی حالتی که بار باد اثر خشندی^۵ و کاهشی بار باد نقلی دارد. لازم به ذکر است که در پیش‌نویس ویرایش چهارم ۱۳۹۶ میلادی مبحث ششم مقررات ملی ساختمان ضریب بار باد از $1/6$ به $1/4$ افزایش یافته است که این امر سبب افزایش اینی در این ترکیب بارها می‌شود.

در این مطالعه قابلیت اعتماد ترکیب‌های بار باد (ترکیب‌هایی که بار باد در آن‌ها بار اصلی است) بررسی می‌شود. برای این منظور نسبت بار زنده به بار مرده و همچنین بار برف به بار مرده برابر با مقدار ثابت $5/0$ در نظر گرفته شده است و برای بار باد این نسبت به صورت متغیر بین صفر تا 5 لحاظ شده است تا بتوان تغییرات شاخص قابلیت اعتماد نسبت به تغییرات نسبت بار باد به بار مرده لحاظ کرد. لازم به کراست که این نسبت‌ها برابر با نسبت واقعی بارها بر همدیگر نیستند بلکه نسبت اثرات آن‌ها است.

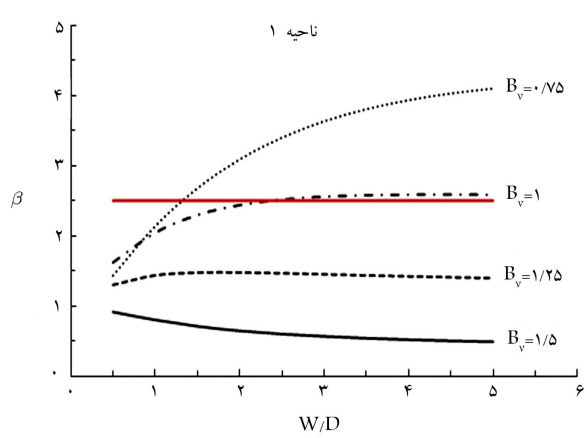
با سرعت بیشتر از ۱۲۰ کیلومتر بر ساعت برابر با ۲ می باشد. همچنین نتایج نشان می دهد که مقدار شاخص قابلیت اعتماد به مقدار نسبت بار باد به بار مرده حساس نیست و برای نسبت های مختلف بار باد به بار مرده (به ویژه برای نسبت های بیشتر از ۲) مقادیر تقریباً ثابتی برای شاخص قابلیت اعتماد به دست می آید.

در شکل ۳ شاخص قابلیت اعتماد برای نسبت های مختلف ضریب اریبی سرعت باد در ترکیب بار شماره ۲ و برای ناحیه ۱ رسم شده است. همان طور که از شکل پیداست افزایش مقدار ضریب اریبی سبب کاهش قابلیت اعتماد می گردد. در حالتی که ضریب اریبی سرعت برابر با مقدار ۱ است، یعنی حالتی که سرعت مبنیاً برابر با سرعت آماری (سرعت تجربی) در نظر گرفته می شود شاخص قابلیت اعتماد برابر با شاخص قابلیت اعتماد هدف می گردد. در پیش نویس ویرایش چهارم (۱۳۹۶) مبحث ششم مقررات ملی ساختمان در محاسبه بار باد، تغییراتی صورت گرفته است. از جمله این تغییرات می توان به افزایش ضریب بار باد و همچنین افزایش سرعت مبنیاً در استگاه های مختلف اشاره کرد. در شکل ۴ با لحاظ کردن این تغییرات، مقدار شاخص قابلیت اعتماد برای نواحی اشاره شده محاسبه شده است. نتایج نشان می دهند که سطح قابلیت اعتماد در این پیش نویس افزایش پیدا کرده است.

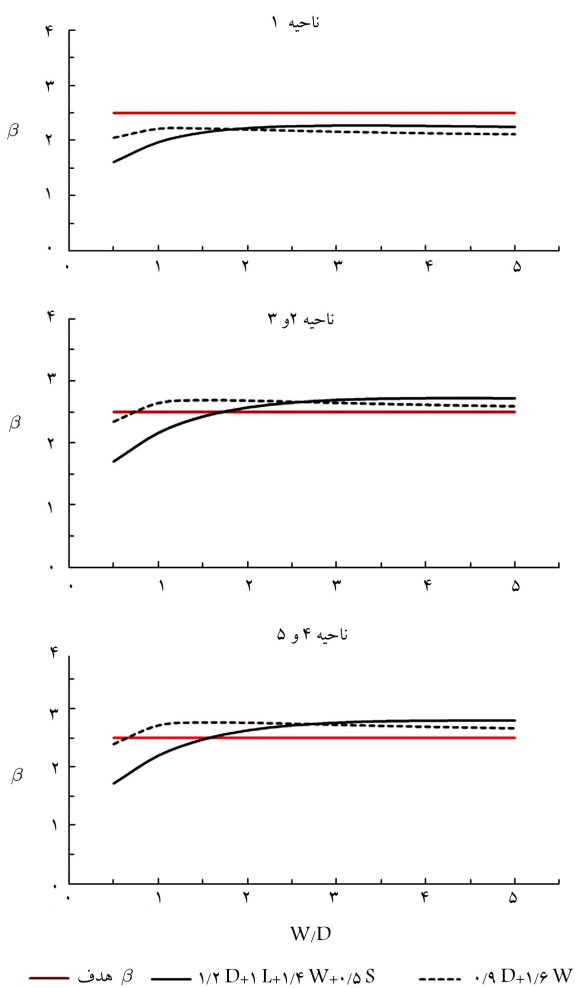
البته این امر با توجه به افزایش مقادیر سرعت مبنیاً و افزایش ضریب بار باد قابل پیش بینی بود. ولی همان طور که از شکل نیز پیداست، سطح قابلیت اعتماد در ناحیه ۱ در ناحیه ۱ در پیش نویس ویرایش جدید نیز باز هم مقداری کمتر از سطح قابلیت اعتماد هدف است، در حالیکه برای نواحی دیگر سطح قابلیت اعتماد بیشتر از سطح قابلیت اعتماد هدف است که نشان دهنده این امر است که این پیش نویس برای نواحی با سرعت بالاتر مقداری محافظه کارانه عمل می کند.

۴. نتیجه گیری

در این مطالعه به ارزیابی سطح قابلیت اعتماد ترکیب بارهای بار باد در آین نامه مبحث ششم مقررات ملی ساختمان (ویرایش ۱۳۹۶) پرداخته شد. با توجه به اینکه بیشترین عدم قطعیت مربوط به سرعت باد است و همچنین سرعت باد کاملاً وابسته به مکان ساختگاه می باشد، داده های آماری سرعت باد برای استگاه های مختلف کشور استخراج شده و پارامتر های آماری برای سرعت در دوره بازگشت ۵۰ ساله محاسبه شد. نتایج نشان می دهند که برای اغلب استگاه ها آین نامه بارگذاری ایران مقادیری کمتری را نسبت به مقدار سرعت آماری (مقادیر تجربی) به عنوان سرعت مبنی در نظر می گیرد. همچنین با استفاده از روش تحلیل قابلیت اعتماد و روابط پایه ای محاسبه شاخص قابلیت اعتماد، رابطه ای برای مقدار شاخص قابلیت اعتماد استخراج شد. در این مطالعه کشور ایران به ۵ ناحیه بر اساس سرعت مبنیای باد تقسیم شد و برای همه نواحی شاخص قابلیت اعتماد محاسبه شد. نتایج حاکی از آن است که قابلیت اعتماد ترکیبات بار باد در همه نواحی نسبت به شاخص قابلیت اعتماد هدف پایین تر است. یکی از دلایل پایین بودن شاخص قابلیت اعتماد به نظر می رسد به علت تخمین دست پایین سرعت مبنیای طح نسبت به مقدار آماری آن باشد. همچنین مشاهده می شود که آین نامه بارگذاری ایران در مناطق با سرعت مبنیای پایین تر غیر محافظه کارانه است و سطح قابلیت اعتماد پایین تری نسبت به مناطق با سرعت مبنیای بالا دارد.



شکل ۳. شاخص قابلیت اعتماد برای نسبت های مختلف ضریب اریبی.



شکل ۴. شاخص قابلیت اعتماد در نواحی مختلف بر اساس پیش نویس ویرایش چهارم مبحث ششم.

با سرعت مبنیای بار باد کمتر، پایین تر است که می تواند ناشی از این امر باشد که در این مناطق، آین نامه سرعت باد را به مرتب کمتر از مقدار تجربی آن در نظر می گیرد. به عنوان نمونه شاخص قابلیت اعتماد برای نواحی دارای سرعت باد کیلومتر بر ساعت برابر با $1/3$ است، در حالی که این مقدار برای نواحی

پانوشت‌ها

1. Discretization factor
2. Reliability index
3. companion load
4. principle load
5. counteracting effect

منابع (References)

1. Nowak AS, Collins KR., *Reliability of Structures*, New York: CRC Press; 2013.
2. LRFD A. *Specification for Structural Steel Buildings*, American Institute of Steel Construction, Chicago, IL. 2010.
3. American Society of Civil Engineers. Minimum design loads for buildings and other structures, standard ASCE/SEI 7-10”, Amer Soc Of Civil Engin, 2013.
4. Specifications LB, “American association of state highway and transportation officials (AASHTO)”, washington DC, USA, 2012.
5. EN 1990, “Eurocode-basis of structural design”, Brussels, Belgium: European Committee for Standardization, 2002.
6. NBCC, “National building code of canada”, Institute for Research in Construction, National Research Council of Canada, Ottawa, 1995.
7. CSA, “Limit states design of steel structures”, Standard CSAS16.1- b95, Canadian Standards Association, Rexdale, 1995.
8. CSA, “Concrete materials and methods of construction”, Standard CSA-A23.1-00, Canadian Standards Association, Rexdale, 2000.
9. Melchers, R.E. and Beck, A.T. “Structural reliability analysis and prediction. John Wiley & Sons (2018).
10. INBC. “Iranian national building code (INBC), part 10: Design and construction of steel”, Ministry of Housing and Urban Development, Tehran, Iran; 2013.
11. INBC. “Iranian national building code (INBC), part 6: Design loads for buildings, ministry of housing and urban development”, Tehran, Iran; 2013.
12. Shayanfar, M.A., Barkhordari, M.A. and Rahamanian, M. “probabilistic modeling of steel in Iran for reliability analysis of Iranian structural steel code”, The First National Conference on Engineering and Management of Infrastructures, Iran, Tehran (in person) (2009).
13. Kordlou, M. and Moarefzade, M.R. “reliability based code calibration of load and resistance factor in Iranian structural steel code.”, *the 6th National Conference on civil Engineering*, Iran, Semnan, (in person) (2011).
14. Mahmoudkalayeh, S., Mahsuli, M. and Ghasemi, H. Reliability-based evaluation and calibration of load combinations for the design of steel building structures of Iran”, M.Sc. Thesis, Sharif University of Technology, Department of Civil Engineering, Iran, Tehran, (in person) (2018).
15. Moghadam, M. and Keshtegar, B. “reliability assessment of steel structures based on Iranian structural steel code”, *2nd Conference of Steel and Structures*, Iran, Tehran (in person) (2011).
16. Ellingwood B. “Development of a probability based load criterion for American national standard A58: Building code requirements for minimum design loads in buildings and other structures”, US Department of Commerce, National Bureau of Standards (1980).
17. IRIMO I. Iran Meteorological Organization.<http://irimo.ir/eng/wd/> Products-Services.html (2019).
18. Ellingwood, Bruce R. and Paulos Beraki Tekie. “Wind load statistics for probability-based structural design”, *Journal of Structural Engineering*, **125**(4), pp. 453-463 (1999).
19. Bartlett FM, Hong HP, Zhou W. “Load factor calibration for the proposed 2005 edition of the national building code of Canada: Statistics of loads and load effects”, *Canadian Journal of Civil Engineering*, **30**(2), pp. 429-39 (2003).
20. Bartlett, FM., Dexter, RJ., Graeser, MD. and et al. “Updating standard shape material properties database for design and reliability”, *EngineeringJournal-American Institute of Steel Construction Inc*, **40**(1), pp. 2-14 (2003).
21. ISO 2394, I.S.O. “General principles on reliability for structures”, Zurich: ISO,1998.
22. Taly, Narendra., *Highway Bridge Superstructure Engineering: LRFD Approaches to Design and Analysis*, CRC Press (2014).
23. Chen, Wai-Fah, and Seung-Eock Kim., *LRFD Steel Design Using Advanced Analysis*, **13**, CRC press (1997).
24. LRFD A. American Institute of Steel Construction (AISC)., *Load and Resistance Factor Design*, Chicago: AISC (1994).
25. American Society of Civil Engineers (ASCE). “Minimum design loads and associated criteria for buildings and other structures”, ASCE/SEI 7-16 (2016).